

التنبؤ باستخدام انحدار العملية الغاووصية وانحدار مُتجه الدعم

مصطفى مظفر رنة*

* رائد قراحسن

(الإيداع: 28 آب 2018 ، القبول: 13 شباط 2019)

الملخص

تم في هذا البحث دراسة انحدار العملية الغاووصية (GPR) (Gaussian Process Regression) وانحدار مُتجه الدّعم (SVR) (Support Vector Regression) اللذين يعتبران من أحد أهم تقنيات التعلم الآلي، ويستخدمان في تحليل بيانات مختلف الأنظمة والتنبؤ بسلوكها بدقة عالية.

فمنا في هذا البحث باقتراح طريقة جديدة لتحسين التنبؤ عن طريق دمج تنبؤات طريقة انحدار مُتجه الدّعم وطريقة انحدار العملية الغاووصية، وتم التحقق من جودتها عبر تطبيقها على بيانات واقعية ومولدة. كما تم مقارنة هذه الطريقة مع طريقة انحدار العملية الغاووصية وانحدار مُتجه الدّعم باستخدام مقاييس دقة التنبؤ (MAPE، RMSE، MSE)، بهدف الوصول لأفضل طريقة لتحسين دقة التنبؤ.

وذلك نتائج المقارنة أن الطريقة المقترحة تعطي أفضل دقة تنبؤ وأفضل نتائج وذلك لتكرار عدد الأفضلية بالاعتماد على أصغر قيمة من قيم مقاييس الأخطاء المستخدمة وبسبب قدرة منحني الانحدار المثل لها على ملائمة وتمثيل البيانات بشكل أفضل.

الكلمات المفتاحية: انحدار مُتجه الدّعم، انحدار العملية الغاووصية، مقاييس دقة التنبؤ.

* طالب دراسات عليا (دكتوراه)-قسم الإحصاء الرياضي-كلية العلوم-جامعة حلب

* أستاذ مساعد-قسم الإحصاء الرياضي-كلية العلوم-جامعة حلب

Prediction using Gaussian Process Regression and Support

Vector Regression

Raed Kara Hasan *

Moustafa Mazhar Rene **

(Received: 28 August 2019, Accepted: 13 February 2019)

Abstract

In this research study Gaussian Process Regression (GPR) and Support Vector Regression (SVR) are considered one of the most important techniques of automated learning, they are used to analyze various data sets and generate predictions with high prediction accuracy.

In this study, we proposed new method to improve prediction by integrating predictions Support vector regression method and Gaussian Process Regression method and their quality was verified by applying them on both artificial and realistic data. This method was also compared with the Support vector regression method and Gaussian Process Regression using the measurements of prediction error explanation (MSE, RMSE, MAPE), in order to obtain the ideal method to improve prediction accuracy.

The proposed method gives the best predictive accuracy and better results in order to replicate the number of preference based on the smallest value of the values of the error measures used , because of the ability of the regression curve ideals have an appropriate and better data representation.

Keywords: Support Vector Regression, Gaussian Process regression, the measurements of prediction error explanation.

*Postgraduate Student (PhD)-Dept. of Mathematical Statistics –Faculty of Science–
University of Aleppo

Assistant Professor-Dept. of Mathematical Statistics–Faculty of ScienceUniversity
of Aleppo

1-مقدمة : Introduction

يشكل تحليل وتقييم العلاقات بين مجموعة من المتغيرات الهدف الأساسي لمعظم الأبحاث بغرض الوصول إلى نموذج رياضي يصف هذه العلاقات، وتضم هذه النماذج متغيرات تابعة (Dependent Variables) وتسمى أيضاً متغيرات الهدف (Target Variables) يمكن التنبؤ بها بوساطة متغيرات أخرى تعرف بالمتغيرات المستقلة (Independent Variables) أو المتغيرات التفسيرية (Explanatory Variables). تكون غاية هذه النماذج جعل الفرق بين القيم المقدرة (المتبني بها) والقيم الفعلية للمتغير الهدف أصغرياً.

يُستخدم النموذج الناتج لوصف وتحليل المشكلة والتنبؤ بمسارها بهدف الخروج بحلول ومقترنات ووصيات بشأنها الأمر الذي يُساعد في عمليات التنمية والخطيط وإعداد السياسات والاستراتيجيات للتحكم في أحداث مستقبلية ممكنة الواقع (Izenman, Nielsen, 2008, 2008).

تم تطوير العديد من النماذج لمعالجة مسائل التنبؤ، كطريقة المربعات الصغرى، ونمذاج الشبكات العصبية، وكان آخرها نموذجي انحدار العملية الغاووصية (GPR) وانحدار مُتجه الدعم (SVR) (Williams Rasmussen, 2006). قدّم العديد من الباحثين دراسات تتضمن دمج طرائق التنبؤ مع بعضها أو مع طرائق الذكاء الاصطناعي، وقد أثبتت هذه النماذج فاعليتها في تحسين دقة التنبؤ، وبعد العالم Zhang وزملاؤه عام 2003 أول من درسوا دمج طرائق التنبؤ، بحيث قاموا بدمج طرائق الانحدار الذاتي مع طريقة الشبكات العصبية للتنبؤ بالسلسل الزمنية (Zhang وزملاؤه, 2003). وقام Shi وزملائه بالعام 2012 باقتراح دمج طرائق الانحدار الذاتي مع انحدار متجه الدعم للتنبؤ بالسلسل الزمنية (Shi وزملاؤه ،2003).

تكمّن أهمية البحث في عرض آخر طرائق التنبؤ وأكثرها استعمالاً وتطوير طرائق التنبؤ وكيفية الحصول على أفضل أداء لهذه الطرائق، كما أن تطبيقات هذه الطرائق كثيرة فهي تدخل في مجالات العلوم المختلفة وتطويرها يساعد على تقدم عملية البحث العلمي.

يمكن الهدف الرئيسي لهذا البحث في دراسة طرائق التنبؤ من خلال دراسة طريقي انحدار العملية الغاووصية (GPR) وانحدار مُتجه الدعم (SVR) وتحسين عملية التنبؤ عبر اقتراح طريقة جديدة ومقارنتها بهدف الوصول لأفضل طريقة لتحسين دقة التنبؤ.

2-المواد وطرائق البحث : Materials and Methods**2-1-التنبؤ باستخدام انحدار العملية الغاووصية :**

يستخدم انحدار العملية الغاووصية (Gaussian Process Regression) أو اختصاراً (GPR) في تقنيات التعلم الآلي. قدّمت طريقة العملية الغاووصية كأداة للانحدار(Regression) في مجال التعلم الآلي، لأول مرة من قبل العالمين Williams Rasmussen عام 1996 حيث قاموا بوصف تحسين المعلمات في دالة التغایر والتي كانت مستحوذاً من استخدام العملية الغاووصية مع الشبكات العصبية، وقد تم استخدامها في تطبيقات مختلفة مثل التنبؤ بالنفعونية الجلدية من المواد الكيميائية والتنبؤ بتركيز الأوزون في الهواء (Bishop, 2007; Williams, 2006).

ليكن لدينا $g(x_d), g(x_1), g(x_2), g(x_3), \dots, g(x_d)^T$ مُتجه ذو d بعد من الدوال عندئذ تسمى العملية العشوائية $\{g(x) : x \in \chi\}$ بعملية غاووص (حيث أن χ هو فضاء المدخلات) إذا كان مُتجه المتغيرات العشوائية X_1, X_2, \dots, X_d يتوزع وفق التوزيع الطبيعي المتعدد بمتوسط μ و مصفوفة تغير K ، تُعرف عملية غاووص كتوزيع على الدوال $P(g(x))$ بحيث أن $(g(x)$ هي دالة معرفة على فضاء المدخلات χ كما يلي: $g: \chi \rightarrow \mathbb{R}$

أي أن العملية الغاووصية هي مجموعة من المتغيرات العشوائية المستمرة محدودة الأبعاد والتي كل منها يخضع للتوزيع الطبيعي وتكون جميع توزيعاتها هي توزيعات طبيعية، وتعتبر عملية غاوص (GP) من أهم تقنيات التعلم الآلي (Rasmussen و Williams, 2006؛ Liu و زملاؤه، 2017).

لتكن لدينا (x) دالة متوسط و $k(x, x')$ دالة تغير معرفتان كما يلي:

$$\mu(x) = E[g(x)]$$

$$k(x, x') = Cov(g(x), g(x')) = E[(g(x) - \mu(x))(g(x') - \mu(x'))]$$

حيث $x, x' \in \chi$ عندئذ العملية الغاووصية (GP) تأخذ الشكل التالي:

$$\begin{bmatrix} g(x_1) \\ \vdots \\ g(x_d) \end{bmatrix} \sim N_d \left(\begin{bmatrix} \mu(x_1) \\ \vdots \\ \mu(x_d) \end{bmatrix}, \begin{bmatrix} k(x_1, x_1) & k(x_1, x_2) & \dots & k(x_1, x_d) \\ k(x_2, x_1) & k(x_2, x_2) & \dots & k(x_2, x_d) \\ \vdots & \vdots & \ddots & \vdots \\ k(x_d, x_1) & k(x_d, x_2) & \dots & k(x_d, x_d) \end{bmatrix} \right) \quad (1)$$

ونرمز لذلك بالرمز:

$$P(g(x)) = GP(\mu(x), k(x, x')) \quad (2)$$

نسمى الدالة $k(x, x')$ بدالة التغير أو دالة النواة (نواة التغير) وهي دالة موجبة محدودة ولها عدة أنواع (Bishop, 2007).
ليكن X متغير تابع و \mathbf{X} متغيرات عشوائية ذو d بعد، يعطى نموذج الانحدار الامامي وفق العلاقة:

$$\mathbf{y} = g(\mathbf{x}) + \boldsymbol{\epsilon} \quad \boldsymbol{\epsilon} \sim N(\mathbf{0}, \sigma^2) \quad (3)$$

حيث أن: (x) هي دالة معروفة أما في الانحدار المعملي تكون معلومة، تعاني الطائق الامامي من مشكلة تعدد الأبعاد (curse of dimensionality) عندما يتم تطبيقها مع المتغيرات المتعددة (أي عندما تكون d كبيرة)، لقد تم تطوير مجموعة متنوعة من النماذج البديلة للتغلب على هذه المشكلة منها نموذج انحدار العملية الغاووصية (GPR) .

إن نموذج انحدار العملية الغاووصية هو نموذج لامامي، وهذا يعني بأنه لا يفترض شكل معين للدالة المدروسة ولكن يتم تحديد شكل العلاقة بين المدخلات والأهداف بالكامل من خلال البيانات التي قد تتضمن عدد غير محدود من الدول، وتكون الدالة الأساسية التي تنتج البيانات مجهرة ولكن يتم توليد التنبؤات من خلال مجموعة من الدول التي تخضع للتوزيع غاووص في فضاء الدول، ويعتبر نموذج انحدار العملية الغاووصية من أحدث طرائق التنبؤ، وهو من نماذج بايز الاحتمالية، ففي معظم طرائق انحدار بايز يتم إيجاد معلومات مسبقة عن معلمات النموذج، وبعد ذلك يتم وضع شروط على البيانات لإعطاء معلمات النموذج اللاحق(البعدي)، حيث يمكن صياغة هذه المعلومات المسبقة بشكل توزيع احتمالي يسمى التوزيع القبلي و يحدد نموذج بايز المعلومات المجهرة للنموذج القبلي بينما يحدد نموذج عملية غاووص علاقات الدول القبلية مباشرة بين مدخلات الاختبار ومدخلات ومخرجات التدريب (Rasmussen و Williams, 2006؛ Liu و زملاؤه ، 2017).

لنفترض لدينا مجموعة من البيانات $\{(x_i, y_i)\}_{i=1}^n$ بحيث تشير $x_i \in \mathbb{R}^d$ إلى المدخلات والتي لها d بعد وتشير $y_i \in \mathbb{R}$ إلى القيم الحقيقية للنواتج و n إلى عدد البيانات، عندئذ يأخذ نموذج انحدار العملية الغاووصية (GPR) الشكل التالي:

$$y_i = g(x_i) + \boldsymbol{\epsilon}_i \quad ; i = 1, \dots, n, \quad \boldsymbol{\epsilon}_i \sim N(\mathbf{0}, \sigma^2) \quad (4)$$

حيث أن: $g(x) \sim GP(\mu(x), k(x, x'))$

و $\mu(x)$ دالة تغير (x, x') k وبالنالي يعطى نموذج انحدار العملية الغاووصية وفق العلاقة:

$$\mathbf{y} = GP(\mu(x), k(x, x')) + \sigma_n^2 \delta(x, x') \quad (5)$$

حيث أن: $\delta(x, x')$ دالة دلتا كرونكير (Kronecker delta) و $\delta(x, x') = 0$ عندما $x \neq x'$

و $1 = \delta(x, x')$ عندما $x = x'$ و σ_n^2 تابين الضجيج العشوائي ومن الشائع أيضاً أن نفترض $= 0 = \mu(x)$ أي دالة المتوسط للعملية الغاووصية القبلية معروفة (عندئذ يأخذ نموذج انحدار العملية الغاووصية الشكل التالي:

$$y \sim \mathcal{GP}(0, k(x, x') + \sigma_n^2 \delta(x, x')) \quad (6)$$

تم تصميم مجموعة متنوعة من دوال النواة، وسيتم في هذا البحث استخدام دالة النواة الغاووصية والموضحة وفق العلاقة الآتية:

$$k(x, x') = e^{-\frac{\|x-x'\|^2}{2\sigma^2}} \quad (7)$$

بحيث أن: $\|x - x'\| = \sqrt{(x - x')^T(x - x')}$ تشير إلى طول الشاعع ($x' - x$) أو نظيم الفرق بين قيمتين x, x' و σ معامل دالة نواة غاووص (Williams و Rasmussen, 2006).

2-التنبؤ باستخدام انحدار متوجه الدعم:

يقع انحدار متوجه الدعم ضمن نطاق نظرية التعلم الاحصائي أو نظرية VC نسبة إلى العالمين Vapnik و Chervonenkis وتصف هذه النظرية خواص التعلم الآلي التي تمكناها من تعليم البيانات بشكل جيد.

قدمت هذه الطريقة كأداة للتصنيف (classification) لأول مرة من قبل العالم Vapnik عام 1995 باسم آلية مُتجه الدّعم (Support vector machine) أو اختصاراً (SVM) وقد نالت أهمية كبيرة في المجال التطبيقي. وفي عام (1998) قام Vapnik بتعديل طريقة (SVM) لمعالج مسائل توفيق التوابع، وأطلق على هذه الطريقة تسمية طريقة انحدار مُتجه الدّعم (Support vector Regression) والتي يرمز لها اختصاراً بـ (SVR) (Hastie و Zoumalov, 2009).

تعتمد طريقة انحدار مُتجه الدّعم على مبدأ تعلم إحصائي غير موجود في نماذج الانحدار التقليدية يُعرف هذا المبدأ بتخفيف المخاطرة البنوية (structural risk minimization) حيث يُقّيم هذا المبدأ حدوداً لأنحراف المخاطرة التجريبية (empirical risk) عن المخاطرة المُتوَقّعة (expected risk) بحيث يتم قياس جودة التقدير في انحدار متوجه الدعم باستخدام نوعاً جديداً من دوال الخسارة يدعى بالدالة غير الحساسة لـ ϵ المقترنة من قبل Vapnik وفق العلاقة التالية:

$$L_\epsilon(y, f(x, w)) = \begin{cases} 0 & ; |y - f(x, w)| \leq \epsilon \\ |y - f(x, w)| - \epsilon & \text{otherwise} \end{cases} \quad (8)$$

بحيث w تمثل معاملات الدالة f ويعبر المعامل ϵ عن الحد الأعلى من الانحرافات المسموح بها وبكلمات أخرى فإننا لا نهتم بالأخطاء مادامت أقل من ϵ لكننا لن نقبل أي انحراف أكبر من ϵ .

يتم في انحدار متوجه الدعم بداية تنظيم المدخلات x إلى فضاء سمات ذو m بعد استخدام مجموعة تحويلات غير خطية محددة (x) ϕ_i (أي الانتقال بمجموعة بيانات التدريب من فضاء الادخال إلى فضاء السمات والذي يكون له عدد أبعاد أكبر) ومن ثم يتم بناء نموذج خططي ضمن فضاء السمات (Alex و Zoumalov, 2004).

ويعطى النموذج الخططي (في فضاء السمات) وفق العلاقة:

$$f(x, w) = \sum_{i=1}^m w_i \phi_i(x) + b \quad (9)$$

بحيث يمثل الحد b الانحياز (bias)، وتشير $\phi_i(x)$ إلى مجموعة تحويلات غير خطية. مثلاً يمكن افتراض التحويل التالي $x \in \mathbb{R}^2 \rightarrow \mathbb{R}^3$: $\Phi(x_1, x_2) = (x_1^2, \sqrt{2}x_1x_2, x_2^2)$ حيث تشير الرموز السفلية إلى مكونات x .

ويتم بالوقت نفسه تخفيض تعقيد النموذج باستخدام دالة الخسارة غير الحساسة $\|w\|^2$. ولذلك يتم ادخال متغيرات مهملة (غير سالبة) ξ_i^* ; $i = 1, \dots, n$ لقياس انحراف عينات التدريب خارج المنطقة المحددة بـ ϵ . وتعطى صيغة انحدار متوجه الدعم بشكل دالة التصغير الآتية:

$$\begin{aligned} \min_{w, \xi_i, \xi_i^*} \quad & \frac{1}{2} \|w\|^2 + C \sum_{i=1}^n (\xi_i + \xi_i^*) \\ \text{s.t.} \quad & \begin{cases} y_i - f(x_i, w) \leq \epsilon + \xi_i \\ f(x_i, w) - y_i \leq \epsilon + \xi_i^* \\ \xi_i, \xi_i^* \geq 0 \quad i = 1, \dots, n \end{cases} \end{aligned} \quad (10)$$

حيث أن C ثابت موجب (معامل التعميم) (Cherkassky, 2004؛ Ma و Alex، 2004). إن ايجاد القيمة المثلثى لتابع غير خطى يخضع لقيود بصيغة متراجحات يتم بإضافة شروط جديدة تدعى بشروط KKT (Karush–Kuhn–Tucker) على طريقة مضاريب لاغرانج ، من خلال تقديم مجموعة من المتغيرات الثوية α_i^* . بحيث تم إثبات أن لهذه الدالة نقطة سرجية (saddle point) فيما يتعلق بالمتغيرات الأولية primal والثوية dual عند الحل (Alex و زملاؤه، 2004).

يعطينا حل المسألة السابقة القيم الأمثلية b و w بدالة المتغيرات الثوية والتي من خلالها نستطيع تقدير قيم التتبؤ بشكل عددي ويكون لمسألة الأمثلية الحل التالي:

$$\begin{aligned} w &= \sum_{i=1}^n (\alpha_i - \alpha_i^*) x_i \Rightarrow f(x) \\ &= \sum_{i=1}^n (\alpha_i - \alpha_i^*) K(x, x_i) + b \end{aligned} \quad (11)$$

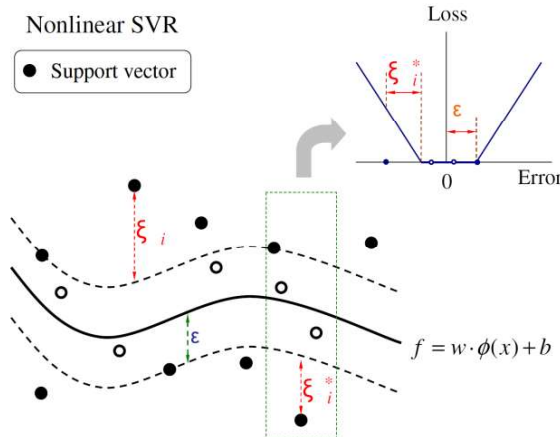
وهذا ما ندعوه بمنشور متوجه الدعم (Support Vector expansion). بحيث يتم تقيد المتغيرات الثوية α_i , α_i^* بالشروط $0 \leq \alpha_i^*, \alpha_i \leq C$ إلى دالة النواة بحيث يمكن الإشارة إلى ناتج الجداء الداخلي $\langle \phi(x), \phi(x_i) \rangle$ على أنه مقياس للتشابه بين x , x_i في الفضاء الذي تم التحويل إليه (فضاء السمات). أي أنها سنقوم بحساب التشابه في فضاء السمات باستخدام الأنماط x_i (فضاء المدخلات). وبالتالي يمكننا الاقتراء بمعرفة دالة التشابه k بحيث $K(x, x_i) = \sum_{j=1}^m \langle \phi_j(x), \phi_j(x_i) \rangle$. وتُعرَّف دالة التشابه k بأنها دالة النواة التي تحقق شروط Mercer (Mercer و زملاؤه، 2004).

تم تصميم مجموعة متنوعة من دوال النواة، وسيتم في هذا البحث استخدام دالة نواة لا بلس والموضحة وفق العلاقة الآتية:

$$k(x, x') = e^{-\frac{\|x-x'\|}{\sigma}} ; \sigma \geq 0 \quad (12)$$

بحيث أن: $\|x - x'\| = \sqrt{(x - x')^T (x - x')}$ تشير إلى طول الشعاع $(x' - x)$ و σ معامل دالة نواة لا بلس. وتدعى نقاط البيانات التي تظهر مع معاملات غير معروفة بالعلاقة (11) بمتوجهات الدعم SV_s وسُرِّمز بـ n_{SV} لعدد متوجهات الدعم.

يوضح الشكل رقم (1) آلية عمل انحدار متوجه الدعم بالحالة غير الخطية، بحيث تمثل النقاط باللون الأسود متجهات الدعم، كما يظهر كيفية تحكم قيمة ϵ بعرض الشرط غير الحساس، ويظهر قيم المتغيرات المهمة ξ_i^* ، ξ_i والتي يتم التحكم بها باستخدام المعامل C .



الشكل رقم (1): انحدار متوجه الدعم بالحالة غير الخطية باستخدام دالة الخسارة غير الحساسة لـ ϵ

تعتمد دقة التقدير لنموذج انحدار متوجه الدعم على الضبط الجيد لضبط قيم المعاملات ϵ ، C ، ومعامل دالة النواة σ (Cherkassky و Zmalo, 2006؛ Yu و Zmalo, 2004؛ Alex و Zmalo, 2004).

يحدد المعامل C الموارنة بين تعقيد النموذج (السطح) (flatness) ودرجة الانحرافات الأكبر من ϵ المسموح بها في صيغة الأمثلية العلاقة (13). بينما يتحكم المعامل ϵ بعرض المنطقة غير الحساسة لـ ϵ المستخدمة لملاحة البيانات (Cherkassky و Zmalo, 2006؛ Alex و Zmalo, 2004؛ Ma و Cherkassky, 2004).

سنعتمد على طريقة الاختيار التحليلي (AS) (analytic selection) للمعاملات ϵ ، C ، ومعامل دالة النواة σ مباشرة من بيانات التدريب وهي طريقة مقترنة من قبل Ma و Cherkassky عام (2004).

وتعطي هذه الطريقة نتائجاً جيدة وتتصف بسهولة حساب قيمها وتعطي قيم المعاملات بهذه الطريقة وفق العلاقة الآتية:

$$\begin{aligned} C &= \max(|\bar{y} + 3S_y|, |\bar{y} - 3S_y|) \\ \epsilon &= 3\hat{\sigma} \sqrt{\frac{\ln n}{n}} \\ \sigma &\approx \tau \times \text{range}(x) \end{aligned} \quad (13)$$

حيث أن \bar{y} ، S_y تشير على التوالي إلى المتوسط الحسابي والانحراف المعياري لقيم y و $|\bar{y} + 3S_y| = |max(x) - min(x)|$ و τ عدد ضمن المجال $[0.1, 0.5]$ وتم اختيار القيمة $0.30 = \tau$ في هذا البحث و $\hat{\sigma}$ هو تقدير مستوى الضجيج لبيانات التدريب ويتم حسابه عبر الصيغة المقدمة بوساطة نموذج الجار الأقرب $k_{nearest_neighbour}$ كما يلي :

$$\hat{\sigma}^2 = \frac{n^{\frac{1}{5}}k}{n^{\frac{1}{5}}k - 1} \cdot \frac{1}{n} \sum_{i=1}^n (y_i - \hat{y}_i)^2 \quad (14)$$

حيث أن \hat{y}_i هي قيم الانحدار بوساطة طريقة الجار الأقرب و k معامل يمثل عدد نقاط الجوار في خوارزمية الجار الأقرب

(2004) Ma Cherkassky.

2-3-الطريقة المقترنة لتحسين التنبؤ:

تعتبر أساليب تحليل الانحدار من أهم وأقوى أساليب التحليل الإحصائي الذي يقيم العلاقات بين مجموعة من المتغيرات بغرض الوصول إلى صيغة تصف هذه العلاقات التي تمكننا من التنبؤ عن حصول تغير واحد أو أكثر في ضوء التغيرات الأخرى التي تتعلق بها، أي أن تحليل الانحدار طريق لتوقع نتيجة معينة اعتماداً على متتحول أو عدة متاحولات مستقلة. حيث أثنا في تحليل الانحدار نجri توافقاً بين نموذج تنبؤي والبيانات المتوفرة لدينا أي أننا سنستخدم البيانات لتقدير نموذج يمكنه أن يصف الظاهرة بشكل جيد، ونستخدم هذا النموذج لتنوّع قيماً للمتحول التابع اعتماداً على متتحول أو أكثر من المتاحولات المستقلة (التنبؤية)، هذا ويمكننا التنبؤ بأية بيانات اعتماداً على المعادلة العامة التالية:

$$\text{Outcome}_i = \text{model}_i + \text{error}_i \quad (15)$$

وهذا يعني أن النتيجة يمكننا الحصول عليها باستخدام نموذج ملائم لبيانات مع إضافة نوع من الخطأ، تتخذ شكل المعادلة وفقاً لنوع العلاقة التي نشاهدها ومن واقع البيانات الإحصائية الخاصة بهذه المتغيرات والتي يجب أن تتصف بالدقة وذلك حتى يلائم النموذج طبيعة الظاهرة (Nielsen, Izenman, 2008, 2009).

يملك كل من نموذجي الانحدار انحدار العمليّة الغاووصية GPR وانحدار متوجه الدعم SVR إمكانات وخصائص مختلفة عند وصف سلوك وسمات منحنى الانحدار ضمن الأنماط الخطية وغير الخطية، لذا فإن النموذج المقترن في هذا البحث يتكون من مركبات كلا النموذجين بحيث نستطيع باستخدام النموذج المقترن نسخة الأنماط المختلفة لنموذج الانحدار وتحسين مجمل سلوك التنبؤ.

تميّز طريقة انحدار متوجه الدعم بمقدرتها على الملائمة الشاملة للبيانات لذلك فهي تستفيد من معلومات كامل مجموعة البيانات لتوليد التنبؤات، بينما تتصف طريقة انحدار العمليّة الغاووصية GPR بقدرتها على الملائمة الموضوعية فهي قادرة على نسخة أخطاء التنبؤ (Hastie وZou, 2009).

ليكن لدينا مجموعة من البيانات $\{(x_i, y_i)\}_{i=1}^n$ عندئذ يتكون نموذج الانحدار من جزء يمثل دالة الانحدار r_i وجزء يمثل قيم الأخطاء e_i ، بحيث تتضمّن الأخطاء e_i علاقة غير خطية تربط بين المشاهدات (Shi وZou, 2003).

وبالتالي يمكن التعبير عن y_i (مجموعة البيانات الأصلية) كما يلي:

$$y_i = r_i + e_i \quad (16)$$

ويتم تقدير \hat{y}_i من خلال مجموعة البيانات المدرosaة بثلاث مراحل:

أولاً: يتم تقدير قيم r_i باستخدام انحدار متوجه الدعم (أي أننا سنقوم بالتنبؤ بالبيانات الأصلية التي لدينا باستخدام نماذج انحدار متوجه الدعم)، عندها تكون قيم الباقي عند المشاهدة i هي: $e_i = y_i - r_i$.

ثانياً: يتم نسخة الباقي باستخدام طريقة انحدار العمليّة الغاووصية GPR:

$$\hat{e}_i = g(x_i) \quad (17)$$

علماً أن g دالة غير خطية تم نسختها باستخدام طريقة انحدار العمليّة الغاووصية GPR .

ثالثاً: يتم جمع التقديرات اللذان حصلنا عليهما باستخدام نموذجي التنبؤ المستخدمين، وبالتالي فإن النموذج المقترن للتنبؤ بالبيانات هو:

$$\hat{y}_i = r_i + \hat{e}_i \quad (18)$$

ويمكن من العلاقتين (11) و(6) مع استبدال قيمة y_i في العلاقة (6) بالباقي e_i والتعويض في العلاقة (18) لينتج لدينا العلاقة التالية التي تمثل النموذج المقترن التالي:

$$\hat{y}_i = \sum_{i=1}^n (\alpha_i - \alpha_i^*) K(x, x_i) + b + G\mathcal{P}(0, k(x, x')) + \sigma_n^2 \delta(x, x') \quad (19)$$

حيث $\sigma_n^2, \delta(x, x'), k(x, x')$ قد تم شرحها ضمن الفقرة (1-2).

وتمثل e_i قيم الباقي و K دالة النواة و b, α_i, α_i^* التي قد تم شرحها ضمن الفقرة (2-2).

وبهذا تكون قد استفينا من خاصية التتبؤ الشامل لانحدار متوجه الدعم في تقدير خط الانحدار وخاصية التتبؤ الموضعي لانحدار العملية الغاووصية في نمذجة وتقدير قيم الأخطاء.

2-4-الجانب التطبيقي:

بغرض اختبار أداء الطريقة المقترنة في تحسين التتبؤ قمنا بتطبيق الطريقة المقترنة وطريقتي انحدار متوجه الدعم وانحدار العملية الغاووصية على مجموعتي بيانات واقعية ومولدة.

2-4-1-البيانات الواقعية:

تمثل مجموعة البيانات الواقعية أعمار وأوزان وأطوال مجموعة من الأطفال أعمارهم من لحظة الولادة وحتى ست سنوات ونصف بحيث اعتمدنا بالقياس على الوحدات التالية السنة للعمر والكيلو للوزن والمتر للطول.

يهدف نموذج التتبؤ المراد بناءه إلى تقدير وزن الطفل عن طريق معرفة عمره وطوله بحيث يمثل وزن الطفل المتغير التابع Y ، بينما يمثل عمر الطفل المتغير الأول المستقل X_1 ويمثل طول الطفل المتغير الثاني المستقل X_2 ،
(مصدر البيانات: نورالدين، (2013)).

2-4-2-البيانات المولدة:

تم توليد مجموعة البيانات المولدة بحجم 100 باستخدام دالة من النمط $sinc$ معطاة وفق العلاقة (Hu وزملاؤه ، 2010):

$$y = sinc(x) = \begin{cases} 1 & ; x = 0 \\ \frac{\sin x}{x} & ; \text{otherwise} \end{cases} \quad (20)$$

وتم إضافة ضجيج عشوائي (تشويش) وفق التوزيع الطبيعي بتوقع رياضي معروف وبانحراف معياري قدره $\sigma = 0.1$ و $\rho = 0.5$.

2-4-3-منهجية اختبار الطريقة المقترنة:

تعتبر الدقة معياراً لاختيار النموذج الأمثل للتتبؤ، ويقصد بالدقة دقة نموذج التتبؤ على إعادة إنتاج البيانات الأصل للعينة المدروسة، ومنه فإن الاختيار المناسب لمقياس دقة التتبؤ يؤثر إيجاباً في تحديد فاعلية نموذج التتبؤ المستخدم وتعمل مقاييس دقة التتبؤ القياسية بشكل عام على مفهوم الفرق بين القيم الأصلية والقيم المتوقعة أو المتتبؤ بها، وهو ما ندعوه بخطأ التتبؤ، وكلما كان مقدار الفرق قليلاً كانت دالة التتبؤ أفضل وأدق، يوجد العديد من مقاييس دقة التتبؤ، وعادةً لا يتم الاعتماد على مقاييس واحد في عملية ضبط نموذج التتبؤ. تعتبر المقاييس التالية: MSE, RMSE, MAPE من أفضل مقاييس المقارنة بين نماذج تتبؤ مختلفة تم بناؤها باستخدام نفس مجموعة بيانات التدريب (Hyndman و Koehler، 2006).

وقد اعتمدنا في بحثنا هذا على هذه المقاييس كونها تلائم طبيعة البحث ويتم حسابهم كما يلي:

$$\text{Mean squared error} \quad MSE = mean(e_i^2)$$

Root mean squared error جذر متوسط مربعات الأخطاء $RMSE = \sqrt{MSE}$

Mean absolute percentage error متوسط القيم المطلقة للأخطاء النسبية $MAPE = mean(|e_i/y_i|)$

حيث يحسب خطأ التنبؤ من العلاقة: $e_i = y_i - \hat{y}_i$
(يدعى خطأ التنبؤ في بعض المراجع بالباقي residuals) Hardle وزملاؤه ، 2004.

وبهدف تطبيق الطريقتين تم كتابة برنامج نصي باللغة البرمجية R (لغة برمجية إحصائية)، حيث تستطيع هذه اللغة القيام بالعديد من تحليلات البيانات بحيث يتم تنظيم هذه التحليلات ضمن ما يسمى بالحزم Packages مما يعني قدرة الباحثين على تطوير البرامج المختلفة الأمر الذي ساهم بانتشار استخدامها في المجالات الأكاديمية Matloff, Cotton، 2013، (2011).

لتنفيذ هذا البحث تم الاستفادة من الحزم التالية:

الحزمة caret بهدف تطبيق خوارزمية الجار الأقرب لتقدير قيمة الضجيج وحساب مصفوفة المسافات الإقليدية لحساب معاملات انحدار متوجه الدعم بالطريقة التحليلية، والحزمة kernlab بهدف تطبيق انحدار العملية الغاووصية وانحدار متوجه الدعم.

في المرحلة الأولى قمنا بتطبيق نموذج انحدار العملية الغاووصية على مجموعة البيانات الواقعية والمولدة وتم الاعتماد على دالة النواة الغاووصية بالعلاقة (7) كدالة نواة وتم حساب قيم مقاييس الأخطاء الثلاثة (MAPE, RMSE, MSE) للحكم على جودة أداء كل طريقة من طرائق التنبؤ.

وفي المرحلة الثانية قمنا بتطبيق نموذج انحدار متوجه الدعم على مجموعة البيانات وتم حساب المعاملين C , ϵ ومعامل دالة النواة σ وفق العلاقة (13) وكما تم الاعتماد على دالة نواة لابلاس بالعلاقة (12) كدالة تشابه في فضاء السمات الذي تم التحويل إليه وتم حساب قيم مقاييس الأخطاء الثلاثة (MAPE, RMSE, MSE).

وفي المرحلة الثالثة قمنا بتطبيق النموذج المقترن على مجموعة البيانات الواقعية والمولدة وتم اعتماد على نفس قيم المعاملات المحسوبة في المرحلتين السابقتين. وتم أيضاً حساب قيم مقاييس الأخطاء الثلاثة (MAPE, RMSE, MSE).

3- النتائج ومناقشتها:

سنقوم الآن بعرض النتائج التطبيقية على كل من مجموعة البيانات:

بعد التطبيق العملي ظهرت لدينا النتائج الموضحة بالجدول والأشكال كما يلي:

الجدول رقم (1) قيم المعاملات المستخدمة ضمن مجموعة البيانات الواقعية

معامل دالة نواة لابلاس σ	معامل انحدار متوجه الدعم C	معامل انحدار متوجه الدعم ϵ	معامل الجار الأقرب k	معامل دالة النواة الغاووصية σ	معامل انحدار العملية الغاووصية σ_n
35.3994	26.74253	0.5108546	5	40.89324	1

المصدر: من إعداد الباحث اعتماداً على مخرجات اللغة البرمجية R

بعد تطبيق الطريقة المقترنة وطريقة انحدار متوجه الدعم وطريقة انحدار العملية الغاووصية وفق المعاملات الموضحة بالجدول رقم (1) على مجموعة بيانات الأطفال الواقعية وحساب قيم مقاييس الأخطاء لكل طريقة ظهرت لدينا النتائج التالية:

الجدول رقم (2): نتائج تطبيق الطرائق الثلاثة على مجموعة البيانات الواقعية

طريقة انحدار العملية الغاووصية			طريقة انحدار متجه الدعم			الطريقة المقترحة		
MSE	RMSE	MAPE	MSE	RMSE	MAPE	MSE	RMSE	MAPE
3.1680	1.7798	0.2917	5.2254	2.2859	0.3627	1.1215	1.0590	0.0581

المصدر: من إعداد الباحث اعتماداً على مخرجات اللغة البرمجية R

يُظهر الجدول رقم (2) من اليسار إلى اليمين اسم الطريقة المستخدمة وقيم مقاييس الأخطاء الثلاثة (MSE، RMSE، MAPE) على مجموعة البيانات الواقعية.

نلاحظ من الجدول رقم (2) بأنه كان للطريقة المقترحة قياماً أصغر لمقاييس الأخطاء الثلاثة (MAPE، RMSE، MSE) من قيم مقاييس الأخطاء الناتجة عن التطبيق المفرد لطريقتي انحدار العملية الغاووصية وانحدار متجه الدعم على مجموعة البيانات الواقعية.

وبإعادة الحسابات بالنسبة لمجموعة البيانات المولدة وعند الحالات المختلفة للضجيج العشوائي $\sigma = 0.1$ و $\sigma = 0.5$ و $\sigma = 1$ ظهرت لدينا النتائج التالية:

الجدول رقم (3) قيم المعاملات المستخدمة ضمن مجموعة البيانات المولدة

	معامل دالة نواة لا بلس σ	معامل انحدار متوجه الدعم C	معامل انحدار متوجه الدعم E	معامل الجار الأقرب k	معامل دالة النواة الغاووصية σ	معامل انحدار العملية الغاووصية σ_n
Sinc 0.1	6	1.294957	0.037591	5	5.860907	0.063164737
Sinc 0.5	6	2.016488	0.185948	5	5.860907	0.525084891
Sinc 1	6	3.268399	0.371603	5	5.860907	0.750846655

المصدر: من إعداد الباحث اعتماداً على مخرجات اللغة البرمجية R

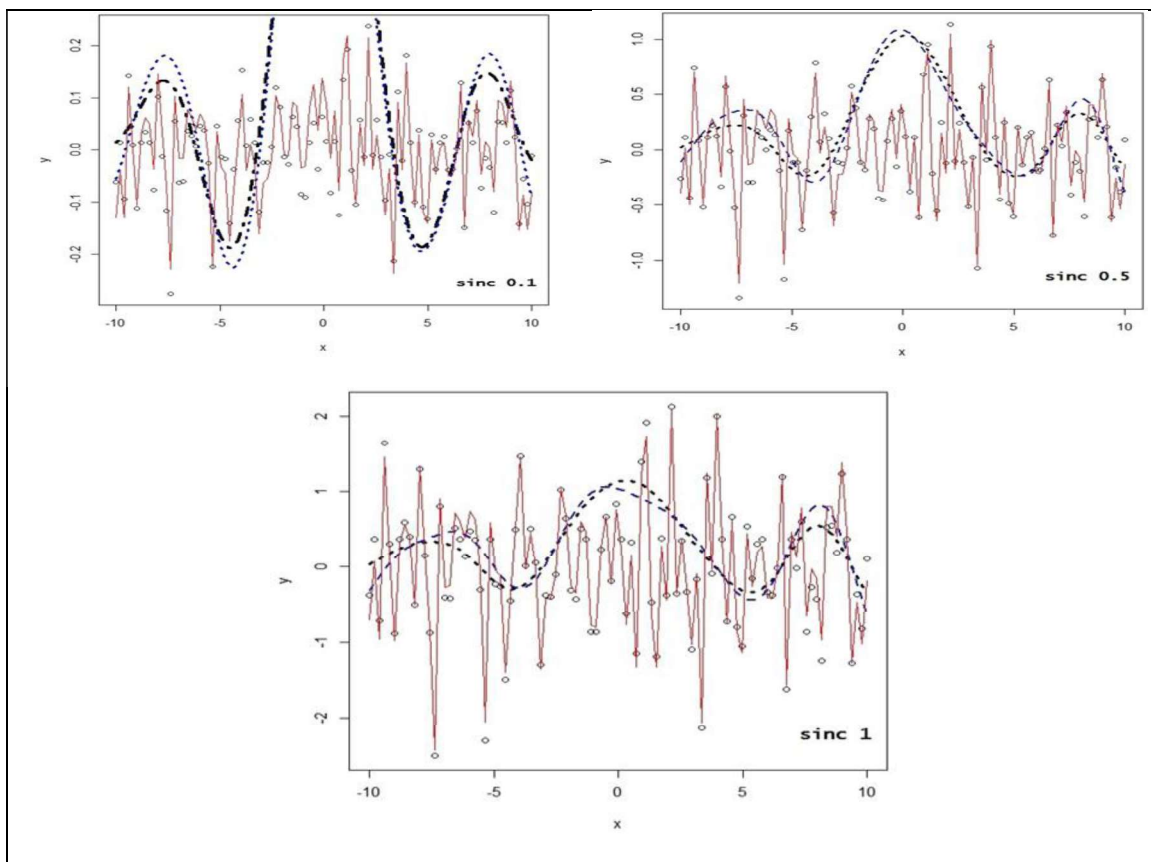
بعد تطبيق الطرائق الثلاثة وفق المعاملات الموضحة بالجدول رقم (3) على مجموعة البيانات المولدة وعند الحالات المختلفة للضجيج العشوائي $\sigma = 0.1$ و $\sigma = 0.5$ و $\sigma = 1$ وحساب قيم مقاييس الأخطاء لكل طريقة ظهرت لدينا النتائج التالية:

الجدول رقم (4): نتائج تطبيق الطرائق الثلاثة على مجموعة البيانات المولدة

	طريقة انحدار العملية الغاوصية			طريقة انحدار مُتجه الدعم			الطريقة المقترحة		
	MSE	RMSE	MAPE	MSE	RMSE	MAPE	MSE	RMSE	MAPE
Sinc 0.1	0.00881	0.09386	1.19612	0.00766	0.08753	0.99279	0.00125	0.03544	0.04065
Sinc 0.5	0.18870	0.43439	1.52227	0.18960	0.43543	1.73138	0.00888	0.09426	1.41863
Sinc 1	0.74879	0.86533	1.44718	0.7468	0.86420	1.89874	0.02159	0.14696	0.48680

المصدر: من إعداد الباحث اعتماداً على مخرجات اللغة البرمجية R

يُظهر الجدول رقم (4) من اليسار إلى اليمين اسم الطريقة المستخدمة وقيم مقاييس الأخطاء الثلاثة على مجموعة البيانات المولدة، حيث أن قيم مقاييس الأخطاء الثلاثة المحسوبة باستخدام الدالة $sinc$ مع إضافة ضجيج عشوائي قدره $\sigma = 0.1\sigma$ في السطر الأول، وقيم مقاييس الأخطاء الثلاثة المحسوبة باستخدام الدالة $sinc$ مع إضافة ضجيج عشوائي قدره $\sigma = 0.5\sigma$ في السطر الثاني، وباستخدام الدالة $sinc$ مع إضافة ضجيج عشوائي قدره $\sigma = 1\sigma$ في السطر الثالث.

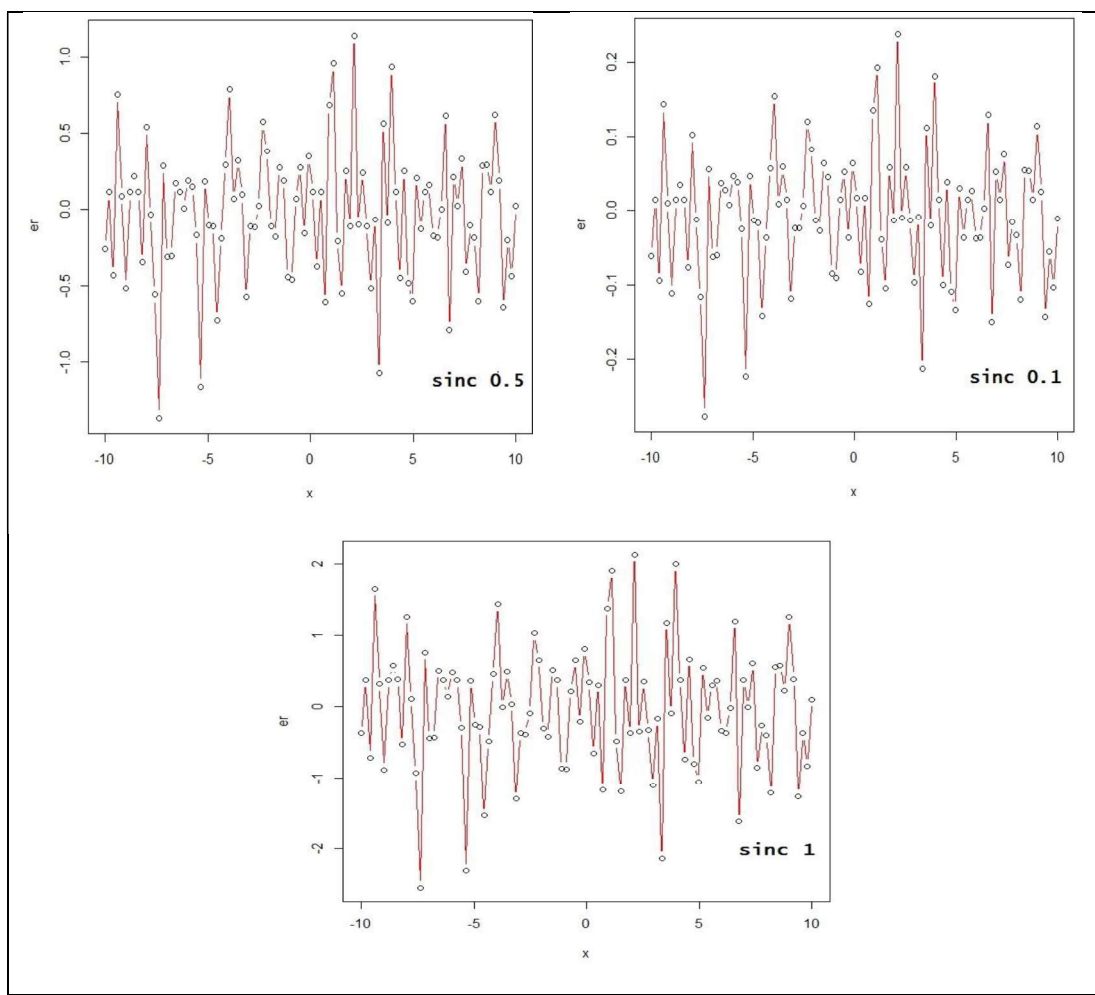


الشكل رقم (2): مقارنة خطوط الانحدار بالطرائق الثلاثة في حالة البيانات المولدة باستخدام الدالة **Sinc** مع إضافة ثلاثة حالات مختلفة للضجيج العشوائي

كما يظهر الشكل رقم (2) مقارنة لخطوط الانحدار المحسوبة بالطرائق الثلاثة (انحدار العملية الغاووصية بالخط المتقطع باللون الأسود وانحدار متوجه الدعم بالخط المنقط باللون الأزرق والطريقة المقترحة بالخط المتواصل باللون الأحمر) في حالة البيانات المولدة باستخدام الدالة **Sinc** مع إضافة ثلاثة حالات مختلفة للضجيج العشوائي $\rho=0.1$ و $\rho=0.5$ و $\rho=1$ وتم الرسم باستخدام لغة R باستخدام التعليمتين `plot` و `lines`.

نلاحظ من الجدول رقم (4) تفوق الطريقة المقترحة على طريقتي انحدار العملية الغاووصية وانحدار متوجه الدعم لأنها حققت قياماً أصغر لمقاييس الأخطاء الثلاثة (MAPE، RMSE، MSE) عند تطبيقها على مجموعة البيانات المولدة باستخدام الدالة **Sinc** في الحالات الثلاث المختلفة للضجيج العشوائي $\rho=0.1$ و $\rho=0.5$ و $\rho=1$ ونلاحظ أيضاً أنه كلما ازدادت قيمة الضجيج العشوائي كلما ازدادت قيمة مقياس الخطأ المستخدم.

ويظهر الشكل رقم (3) نسخة الأخطاء باستخدام انحدار العملية الغاووصية وهي العملية الموضحة بالخطوة الثانية من النموذج المقترن على مجموعة البيانات المولدة باستخدام الدالة **Sinc** مع إضافة ثلاثة حالات مختلفة للضجيج العشوائي $\rho=0.1$ و $\rho=0.5$ و $\rho=1$.



الشكل رقم (3): نمذجة الأخطاء على مجموعة البيانات المولدة باستخدام الدالة $Sinc$ مع إضافة ثلاثة حالات مختلفة للضجيج الشوائي

نلاحظ من الشكل (2) بأن النموذج المقترن يمتلك أفضل تمثيل للبيانات ومن خلال الشكل رقم (3) نجد قدرة نموذج انحدار العملية الغاووصية على ملائمة قيم أخطاء التنبؤ.

4- الاستنتاجات والتوصيات :

Conclusions : 1-4-الاستنتاجات :

من خلال ما ذكر سلفاً وما سُجل من نتائج نورد ما يلي:

1-أظهرت الدراسة التي أجريناها على مجموعة البيانات الواقعية والمولدة تفوق الطريقة المقترنة على طريقتي انحدار **مُتجه الدعم وانحدار العملية الغاووصية**، وذلك من خلال تحقيقها لأصغر قيمة من قيم مقاييس الأخطاء الثلاثة (MAPE, MSE, RMSE).

2-من خلال نتائج هذه الدراسة تبين بأن النموذج المقترن قد أعطى دقة تتبؤ أفضل من دقة التنبؤ التي حصلنا عليها باستعمال نماذج التنبؤ المفردة لطريقتي انحدار العملية الغاووصية وانحدار متوجه الدعم وذلك لتكرار عدد الأفضلية بالاعتماد على أصغر قيمة من قيم مقاييس الأخطاء المستخدمة وبسبب قدرة منحني الانحدار المثل لها على ملائمة وتمثيل البيانات بشكل أفضل.

4- التوصيات : Recommendations

- 1- مما سبق نوصي باستخدام الطريقة المقترحة كونها أعطت أفضل النتائج على مجموعات بيانات أخرى.
- 2- نوصي الباحثين بإجراء عمليات دمج بين طرائق الانحدار الأخرى وتطبيقاتها في مجالات العلوم المختلفة.
- 3- إجراء دراسات مستقبلية حول تحسين دقة التنبؤ باستخدام طرائق أخرى غير الطريقة المقترحة في هذا البحث.

5- المراجع العربية:

- (1) نورالدين، محمد مالك، (2013). تطوير تقنيات تنقيب المعطيات ل القيام بمهام التنبؤ. رسالة ماجستير في الرياضيات- كلية العلوم-جامعة حلب.

6-References:

- 12- **Alex, J., Smol, A., Scholko, B., (2004).** A Tutorial on Support Vector Regression, Statistics and Computing. 14, 199–222.
- 13- **Bishop, C. M., (2007).** Pattern Recognition and Machine Learning. Springer.
- 14- **Cherkassky, V., Ma, Y., (2004).** Practical Selection of SVM Parameters and Noise Estimation for SVM Regression, Neural Networks, 17, 113–126.
- 15- **Cotton, R., (2013).** Learning R, O'Reilly Media, Inc., United States of America, 377.
- 16- **Härdle, W., Müller, M., Sperlich, S.,and Werwatz A., (2004)** .Nonparametric and Semiparametric Models, Springer, Berlin, 301.
- 17- **Hastie, T., Tibshirani, R., Friedman, J., (2009).** The Elements of Statistical Learning Data Mining, Inference, and Prediction. Springer, 2th ED, Berlin, 764.
- 18- **Hu, Z.,Min, W, Huang, X., (2010).** Parameter Selection of Support Vector Regression Based on Particle Swarm Optimization, International Conference on Granular Computing, 5, 251 – 256.
- 19- **Hyndman, R., J., Koehler, A. B., (2006).** Another Look at Measures of Forecast Accuracy, International Journal of Forecasting, 22, 679–688.
- 20- Izenman, A.J., (2008). Multivariate Statistical Techniques: Regression, Classification and manifold learning. New York: Springer.
- 21- **Liu, Y., Keller, Y., Song, PH., Bond, J., Jiang, G., (2017).** Prediction of concrete corrosion in sewers with hybrid Gaussian processes regression model. RSC Advances, 7, 30894–30903.
- 22- **Matloff, N., (2011).** The Art of R Programming, Malloy Incorporated, United States of America, 373.
- 23- **Nielsen, A.,(2009)** .Least Squares Adjustment Linear and Nonlinear Weighted Regression Analysis Informatics and Mathematical Modelling. Technical University, Denmark.

- 24- **Rasmussen, C. E., Williams C. K. I., (2006).** Gaussian Processes for Machine Learning. MIT, Press.
- 25- **Shi, J., GUO, J., Zheng, S., (2012).** Evaluation of Hybrid Forecasting Approaches for Wind Speed and Power Generation Time Series. Sustainable Energy Reviews, 16, 3471–3480.
- 26- **Yu, P., Chen, S., Chang, I., (2006).** Support Vector Regression for Real-time Flood Stage Forecasting, Hydrology, 328, 704– 716.
- 27- **Zhang, G.; Patuwo, B., Hu, M., (1998).** Time Series Forecasting Using a Hybrid ARIMA and Neural Network Model. Neuro computing, 50, 159–175.